

Приводим значения вязкости μ [сн] и концентрации исследованных растворов поливинилового спирта C_1 и глицерина C_2 в процентах

$\mu = 1.009$	1.012	1.031	1.064	1.099
$C_1\% = 0.001$	0.005	0.040	0.050	0.100
$C_2\% = -$	0.20	0.70	1.55	2.40

Зависимость напряжения трения τ [$\text{кг} / \text{см}^2$], среднего по всей обтекаемой поверхности цилиндра 2, от линейной скорости V $\text{м} / \text{сек}$ наружного цилиндра для воды и растворов представлена на фиг. 2, где точки 1 соответствуют дистиллированной воде, 2 — раствор 2,4%-ного глицерина, 3 — раствор 0,1%-ного поливинилового спирта. Растворы как поливинилового спирта, так и глицерина имели вязкость $\mu = 1.099$ сн.

Эффект уменьшения турбулентного трения τ [$\text{кг} / \text{см}^2$] раствора, по сравнению с водой, зависит от вязкости раствора μ и структуры растворенных молекул. Это ясно видно из кривых, представленных на фиг. 3. Кривая 1 получена при течениях растворов поливинилового спирта, когда скорость наружного цилиндра $V = 34.5$ $\text{м} / \text{сек}$. Кривая 2 характеризует растворы глицерина при той же скорости.

На основании опубликованных и полученных данных нельзя построить физическую модель процесса, происходящего в растворе макромолекул. Однако сам факт уменьшения трения достаточно интересен, чтобы оправдать попытки новых, более широких исследований.

Авторы благодарят А. Т. Троценко и К. В. Дворникову за помощь при выполнении работы.

Поступила 10 III 1966

ЛИТЕРАТУРА

- Dodge D. W., Metzner A. B. Turbulent flow of Non-Newtonian Systems. Amer. Inst. Chem. Engng. Journ., 1959, No. 5.
- Shaver R. G., Merrill E. M. Turbulent flow of Pseudoplastic Polymer Solutions in Straight Cylindrical Tubes. Amer. Inst. Chem. Engng. Journ., 1959, vol. 5, No. 2.
- Metzner A. B., Graham P. M. Turbulent flow Characteristics of viscoelastic fluids. J. Fluid Mech., 1964, vol. 20, No. 2.
- Баренблatt Г. И., Булинин Г. Г., Мясников В. П. Влияние растворов некоторых высокомолекулярных соединений на снижение сопротивления при обтекании тел турбулентным потоком. ПМТФ, 1965, № 3.

СТАТИСТИЧЕСКИЕ ХАРАКТЕРИСТИКИ ПУЛЬСАЦИИ ДАВЛЕНИЯ В ГИДРАВЛИЧЕСКОМ ПРЫЖКЕ

В. И. Букреев (Новосибирск)

В работе рассматриваются экспериментальные данные о корреляции в существенно неоднородном, статистически стационарном поле пульсации давления на дне турбулентного потока в зоне гидравлического прыжка. Некоторые данные по другим статистическим характеристикам рассматриваемого поля (в частности — по одномерным законам распределения) можно найти в работе [1].

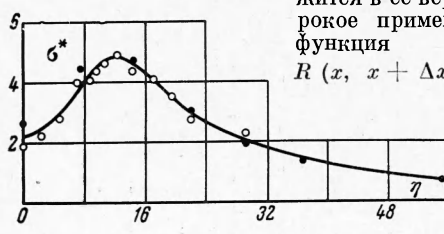
Давление $p(\mathbf{q})$ на твердой стенке, ограничивающей турбулентный поток, является случайной функцией координат x и y точек на поверхности стенки и времени t . Необходимая для решения практических задач информация о случайной функции содержит

ся в ее вероятностных характеристиках, наиболее широкое применение из которых имеет корреляционная функция

$$R(x, x + \Delta x, y, y + \Delta y, t, t + \tau) = \langle p^0(\mathbf{q}) \cdot p^0(\mathbf{q} + \Delta \mathbf{q}) \rangle$$

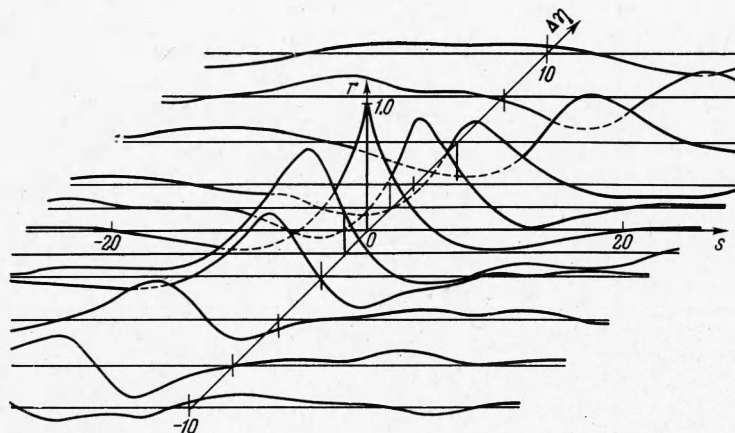
Здесь \mathbf{q} — вектор с компонентами x , y и t , градус указывает, что случайная функция центрирована, а угловыми скобками обозначена операция нахождения математического ожидания.

В общем случае корреляционная функция трехмерного поля имеет шесть аргументов. Существенные упрощения следуют из однородности, когда вероятностные характеристики одинаковы при любом значении \mathbf{q} и корреляционная функция зависит только от трех аргументов: Δx , Δy и τ . В данной работе поле предполагается однородным по t (стационарным) и по y , и исследуется поверхность $R(x, \Delta x, \Delta y, \tau)$.



Фиг. 1

Стационарность существенно упрощает постановку эксперимента, поскольку эргодичность большинства стационарных функций позволяет заменить осреднение по ансамблю осреднением по времени. Это предположение справедливо для установившихся течений. Однородность по y имеет место лишь для центральной части потоков, у которых глубина существенно меньше ширины. Снятие этого предположения, в противоположность предположению о стационарности, не меняет методики исследований, а только увеличивает их объем.



Фиг. 2

Случайная функция $r(q)$ и ее вероятностные характеристики зависят также от характера явления, конфигурации границ потока, их жесткости и пр. Исследования проведены на совершенном гидравлическом прыжке в лотке прямоугольного поперечного сечения с гладким горизонтальным дном. Ширина потока в три раза превышала глубину в нижнем бьефе. Границы потока были абсолютно жесткими. Число Фруда в сжатом сечении струи, вытекающей из-под плоского щита с острой кромкой, равно 33, число Рейнольдса осредненного течения равно $1.3 \cdot 10^5$. Разрешающая способность измерительной аппаратуры и методика обработки позволяли без систематических ошибок получать статистические характеристики пульсаций с частотой от 0 до 50 гц. Ось x направлена по оси лотка, причем начало координат совпадает со сжатым сечением струи. Более детальное описание условий эксперимента можно найти в [1], если принять фигурирующий там геометрический масштаб λ равным двум.

В отличие от описанной в [1] методики обработки, считывание ординат осциллографических записей процессов (с пробивкой на перфоленте в двоичном коде) производилось фототелеграфным аппаратом. Шаг квантования по времени равнялся 0.0064 сек. Квантование по амплитуде — на 32 уровня.

Интенсивность пульсаций оценивается величиной $\sigma = \sqrt{R(x, 0, 0, 0)}$. График функции $\sigma^*(x) = (2g / v_1^2) \sigma(x)$ (где $v_1^2 / 2g$ — скоростной напор в сжатом сечении) приведен на фиг. 1. По оси абсцисс отложена величина $\eta = x / h_1$, где h_1 — глубина потока в сжатом сечении. На этой фигуре сплошными кружочками помечены точки, полученные в прежних исследованиях [1]. Интенсивность пульсаций максимальна при $\eta = 12$ (примерно на расстоянии $1/3$ длины горизонтальной проекции вальца от начала прыжка). Коэффициент вариации давления в этой зоне достигает величины 16%.

На фиг. 2 дан ряд сечений нормированной поверхности $r(\eta, \Delta\eta, 0, s)$ плоскостями $\Delta\eta = \text{const}$ при $\eta = 10$; здесь $s = v_1 t / h_1$ — число Струхала. Способ построения этих сечений заключается в следующем. Сигналы от двух датчиков, расположенных по оси лотка на расстоянии Δx , одновременно записываются на осциллограмме. Продолжительность записи T была не менее 30 сек. Обработка велась на цифровой вычислительной машине по алгоритмам

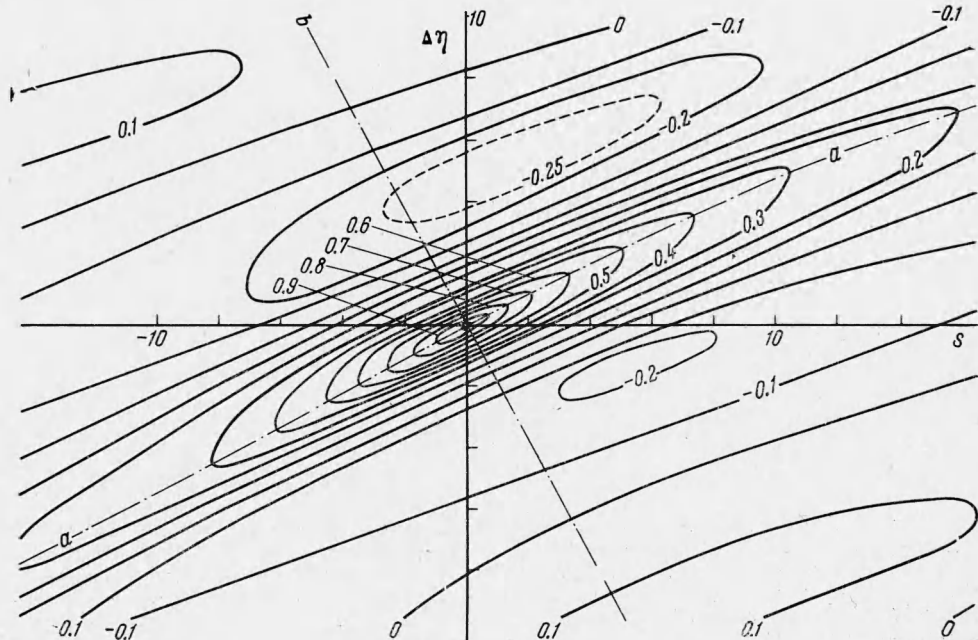
$$R(x, \Delta x, 0, \tau) = \frac{1}{T - \tau} \int_0^{T-\tau} p^\circ(x, \hat{\eta}, t) p^\circ(x + \Delta x, 0, t + \tau) dt$$

$$R(x, \Delta x, 0, -\tau) = \frac{1}{T - \tau} \int_0^{T-\tau} p^\circ(x, 0, t + \tau) p^\circ(x + \Delta x, 0, t) dt$$

Алгоритм нормировки

$$r(x, \Delta x, 0, \tau) = \frac{R(x, \Delta x, 0, \tau)}{\sqrt{R(x, 0, 0, 0) R(x + \Delta x, 0, 0, 0)}}$$

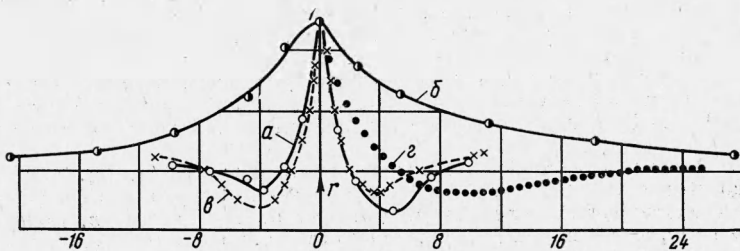
таков, что нормированная поверхность нигде не превышает (по модулю) единицы.



Фиг. 3

Построенные затем экспериментальные изолинии этой поверхности были сглажены по методу наименьших квадратов, причем аппроксимация велась полиномом третьей степени. Результат представлен на фиг. 3. Заметим, что линия *aa* на этой фигуре не является прямой.

На фиг. 4 дан ряд характерных сечений этой поверхности, причем по оси абсцисс отложено: для кривой *a* — безразмерное расстояние $\Delta\eta$, для кривой *b* — расстояние вдоль линии *aa*, для кривой *c* — расстояние вдоль линии *bb* и для кривой *d* — безразмерное время *s*.

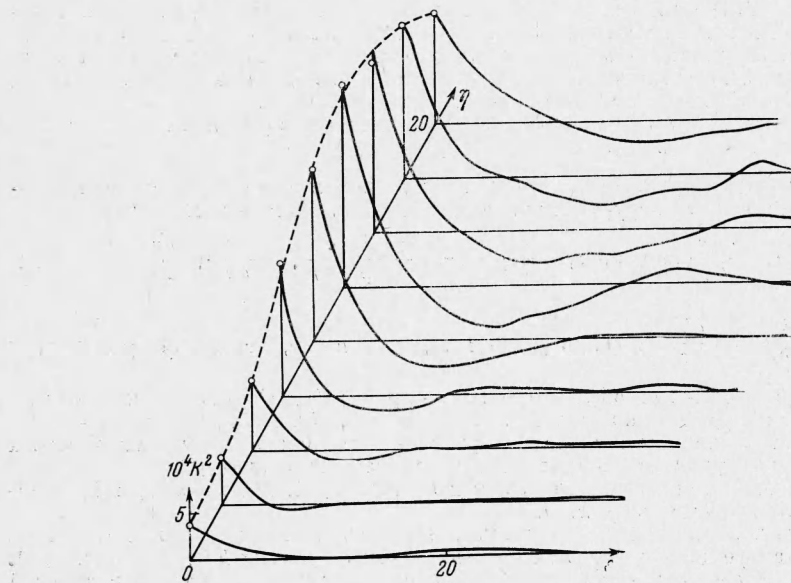


Фиг. 4

Кривая *a* дает представление о корреляциях по длине прыжка в окрестности точки с $\eta = 10$. Ее асимметричность является следствием существенной неоднородности поля по координате x .

Интересно сечение *b* цилиндрической поверхностью с направляющей по линии *aa* и перпендикулярной образующей. Характерной особенностью рассматриваемого поля является не только кривизна линии *aa*, но и быстрое убывание ординат кривой по мере удаления от начала координат.

Кривая σ получается в сечении поверхности плоскостью, проходящей через начало координат перпендикулярно линии aa . Наконец, кривая τ на этой фигуре есть автокорреляционная функция в точке $\eta = 10$. Она симметрична и получена осреднением по десяти экспериментальным кривым, каждая из которых вычислена с обычной в данных исследованиях точностью.



Фиг. 5

Из всех сечений корреляционной функции наиболее легко определяются из эксперимента сечения вида $R(x, 0, 0, \tau)$, где роль параметра играет x . В однородном поле одного такого сечения (автокорреляционной функции в произвольной точке) достаточно, чтобы по нему построить всю поверхность. Естественно стремление восстановить полную картину корреляций по таким сечениям и в случае неоднородного поля [2]. Поэтому детальное изучение подобных сечений имеет большой интерес. Экспериментально полученные в данной работе кривые представлены на фиг. 5, где по оси ординат отложен квадрат величины

$$K = \frac{2g \sqrt{R(x, 0, 0, \tau)}}{v_1^2}$$

С изменением x меняется даже форма автокорреляционных функций. Однако тенденция к их расширению (сужению спектра частот) по мере удаления от начала прыжки прослеживается достаточно четко.

Автор благодарит О. Ф. Васильева, под руководством которого выполнена эта работа, а также В. А. Львова, Н. С. Полещук и В. В. Зыкова — за изготовление и наладку аппаратуры для обработки осциллографов и З. В. Данилову — за составление программ и обработку результатов эксперимента.

Поступила 13 XII 1965

ЛИТЕРАТУРА

1. Букреев В. И., Васильев О. Ф. Моделирование пульсации давления на границе потока. ПМТФ, 1965, № 4.
2. Лятех В. М. Пульсация силы гидродинамического давления на границе турбулентного потока. Тр. Гидропроекта, 1963, сб. 10.